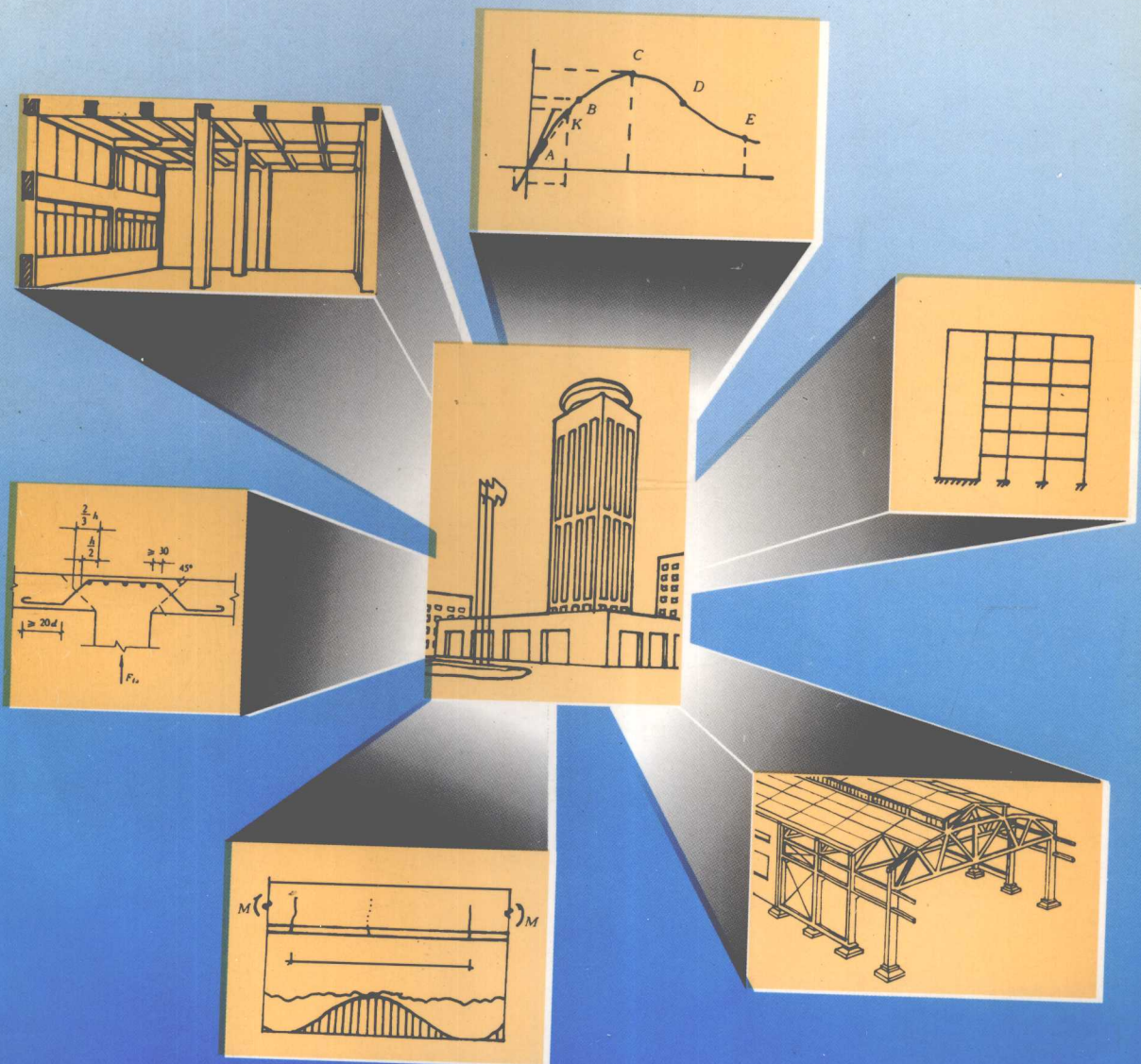


# 混凝土结构(下)

主编 蓝宗建  
主审 童启明



东南大学出版社

# 混凝土结构

## (下)

主编 蓝宗建

编者 蓝宗建 梁书亭 刘伟庆

李 琦 刘 雁

主审 童启明



东南大学出版社

## 内 容 简 介

本书系按照高等工科院校的《工业与民用建筑和建筑工程专业教学大纲》和《全国一级结构工程师注册考试大纲》的要求，并根据国家建设部颁布的国家标准《混凝土结构设计规范》(GBJ10-89)、《建筑抗震设计规范》(GBJ11-89)、《建筑结构荷载规范》(GBJ9-87)和有关的修订内容以及其他有关的规范、规程编写的。

本书分上、下两册，上、下册各三篇。上册三篇为：基本概念和设计原则、钢筋混凝土结构构件、预应力混凝土结构构件。下册三篇为：钢筋混凝土梁板结构、单层厂房结构、多层和高层建筑结构。全书在讲清物理概念和计算原理的基础上，介绍了工程设计中实用的计算方法，并列举了适量的实例。

本书可作为高等院校的工业与民用建筑和建筑工程专业的教材，也可供土建设计和施工技术人员参考。

## 混 凝 土 结 构(下)

主编 蓝宗建

主审 童启明

\*

东南大学出版社出版发行

(南京四牌楼 2 号 邮编 210096)

江苏省新华书店经销 南京京新印刷厂印刷

\*

开本 787×1092 毫米 1/16 印张 23 字数 549 千

1998 年 9 月第 1 版 1998 年 9 月第 1 次印刷

印数：1—4000 册

ISBN 7-81050-372-3/TU·39

定价：33.00 元

(凡因印装质量问题，可直接向承印厂调换)

## 前　　言

本书系按照高等工科院校的《工业与民用建筑和建筑工程专业教学大纲》和《全国一级结构工程师注册考试大纲》的要求编写的，可作为大专院校的教材，也可供工程技术人员参考。

本书是根据国家建设部颁布的国家标准《混凝土结构设计规范》(GBJ10—89)、《建筑抗震设计规范》(GBJ11—89)、《建筑结构荷载规范》(GBJ9—87)和有关的修订内容以及其他有关的规范、规程编写的。有关的修订内容包括：国家建设部于1993年颁布的《混凝土结构设计规范》(GBJ10—89)局部修订内容、《建筑抗震设计规范》(GBJ11—89)局部修订内容及1996年颁布的《混凝土结构设计规范》(GBJ10—89)局部修订条文等。

全书共六篇，分上、下两册，上、下册各三篇。上册三篇为：基本概念和设计原则、钢筋混凝土结构构件、预应力混凝土结构构件。下册三篇为：钢筋混凝土梁板结构、单层厂房结构、多层和高层建筑结构。

本书内容密切结合我国工程实际，力求文字简练、深入浅出。为了使读者既能深入、系统地理解结构和构件的受力性能，又能正确、灵活地掌握结构和构件的设计方法，全书在讲清物理概念和计算原理的基础上，介绍了工程设计中实用的计算方法，并列举了适量的实例。

参加本书上册编写工作的人员为：蓝宗建(第一、二、三、四、五、六、九、十章)、刘伟庆(第七、八章)、曹双寅(第十一、十二、十三章)。参加本书下册编写工作的人员为：刘雁(第十四、十五、十六章)、李琪(第十七、十八、十九章)、蓝宗建(第二十、二十二、二十三、二十四、二十五章)、刘伟庆(第二十一章)、梁书亭(第二十六章及第二十三、二十五章部分内容)。

本书由蓝宗建主编，童启明主审。

由于作者水平所限，书中难免有不妥或疏误之处，请读者指正。

蓝宗建  
1997年8月

# 目 录

## 第四篇 钢筋混凝土梁板结构

第十四章 现浇钢筋混凝土楼盖 .....	( 3 )
§ 14-1 现浇钢筋混凝土楼盖的类型 .....	( 3 )
§ 14-2 钢筋混凝土单向板肋梁楼盖 .....	( 5 )
§ 14-3 钢筋混凝土双向板肋梁楼盖 .....	( 36 )
§ 14-4 钢筋混凝土无梁楼盖 .....	( 44 )
第十五章 装配式钢筋混凝土楼盖 .....	( 49 )
§ 15-1 预制板和预制梁的形式 .....	( 49 )
§ 15-2 铺板式楼盖的结构布置和连接 .....	( 50 )
§ 15-3 铺板式楼盖的计算要点 .....	( 52 )
第十六章 楼梯和雨篷 .....	( 54 )
§ 16-1 钢筋混凝土楼梯 .....	( 54 )
§ 16-2 钢筋混凝土雨篷 .....	( 60 )

## 第五篇 钢筋混凝土单层厂房

第十七章 钢筋混凝土单层厂房的结构组成和结构布置 .....	( 65 )
§ 17-1 单层厂房的结构组成和结构体系 .....	( 65 )
§ 17-2 单层厂房的结构布置 .....	( 67 )
§ 17-3 排架结构体系 .....	( 84 )
第十八章 钢筋混凝土单层厂房排架计算 .....	( 87 )
§ 18-1 排架结构的计算简图 .....	( 87 )
§ 18-2 排架结构的荷载计算 .....	( 88 )
§ 18-3 平面排架的内力计算 .....	( 95 )
§ 18-4 排架的内力组合 .....	( 99 )
§ 18-5 考虑整体空间作用的排架内力分析 .....	( 101 )
第十九章 钢筋混凝土单层厂房结构构件的计算与构造 .....	( 118 )
§ 19-1 钢筋混凝土柱的设计 .....	( 118 )
§ 19-2 钢筋混凝土柱下独立基础的设计 .....	( 130 )
§ 19-3 钢筋混凝土吊车梁设计要点 .....	( 139 )
§ 19-4 钢筋混凝土屋架设计要点 .....	( 145 )
§ 19-5 构件预埋件连接设计及构件间的连接构造 .....	( 152 )

## 第六篇 多层和高层房屋

第二十章 多层和高层房屋结构设计的一般原则 .....	( 159 )
§ 20-1 多层和高层建筑结构的受力特点 .....	( 159 )
§ 20-2 多层和高层房屋的结构体系 .....	( 160 )
§ 20-3 多层和高层建筑结构布置的一般原则 .....	( 163 )
§ 20-4 多层和高层建筑结构的风荷载和地震作用 .....	( 167 )
§ 20-5 多层和高层建筑内力和位移计算的一般原则 .....	( 172 )

§ 20-6	高层建筑结构的稳定和倾覆验算	(175)
§ 20-7	截面设计和结构构造的一般原则	(175)
<b>第二十一章</b>	<b>钢筋混凝土框架结构</b>	(178)
§ 21-1	框架结构的组成和布置	(178)
§ 21-2	框架结构内力和水平位移的近似计算方法	(181)
§ 21-3	框架结构的内力组合	(196)
§ 21-4	框架结构构件设计	(199)
<b>第二十二章</b>	<b>钢筋混凝土剪力墙结构</b>	(234)
§ 22-1	剪力墙结构的布置	(234)
§ 22-2	水平力作用下剪力墙内力和水平位移的计算	(235)
§ 22-3	水平力的分配	(252)
<b>第二十三章</b>	<b>钢筋混凝土框架-剪力墙结构</b>	(257)
§ 23-1	框架-剪力墙结构的布置	(257)
§ 23-2	水平力作用下内力和水平位移的计算	(259)
§ 23-3	框架-剪力墙结构的受力特征	(271)
<b>第二十四章</b>	<b>钢筋混凝土筒体结构</b>	(281)
§ 24-1	筒体结构的类型和结构布置	(281)
§ 24-2	筒体结构的受力特点	(283)
§ 24-3	筒体结构内力的近似计算方法	(283)
<b>第二十五章</b>	<b>钢筋混凝土剪力墙的计算和构造</b>	(287)
§ 25-1	剪力墙截面设计的一般要求	(287)
§ 25-2	剪力墙正截面承载力计算	(287)
§ 25-3	剪力墙斜截面受剪承载力计算	(292)
§ 25-4	剪力墙水平施工缝受剪承载力计算	(293)
§ 25-5	连梁承载力计算	(294)
§ 25-6	剪力墙的构造要求	(296)
<b>第二十六章</b>	<b>钢筋混凝土多层和高层房屋的基础</b>	(302)
§ 26-1	基础设计的一般原则	(302)
§ 26-2	柱下条形基础的计算和构造	(305)
§ 26-3	十字交叉条形基础的计算和构造	(317)
§ 26-4	片筏基础的计算和构造	(325)
§ 26-5	箱形基础的计算和构造	(328)
<b>附录</b>		(336)
附表 22	等截面等跨连续梁在均布荷载和集中荷载作用下的内力系数表	(336)
附表 23	双向板在均布荷载作用下的挠度和弯矩系数表	(342)
附表 24	钢筋混凝土结构伸缩缝最大间距	(345)
附表 25	单阶柱柱顶反力和位移系数表	(346)
附表 26	规则框架和壁式框架承受均布及倒三角形分布水平力作用时的反弯点高度比	(350)
附表 27	$\eta_1(x), \eta_2(x), \eta_3(x)$ 和 $\eta_4(x)$ 函数表	(354)
附表 28	地基土的变形模量 $E_0$	(356)
附表 29	荷载分布在矩形面积上的弹性半空间体的沉降 $\xi$ 值	(357)
附表 30	荷载分布在圆形面积上的弹性半空间体的沉降 $\xi$ 值	(357)
<b>参考文献</b>		(358)

# 第四篇

## 钢筋混凝土梁板结构



# 第十四章 现浇钢筋混凝土楼盖

## § 14-1 现浇钢筋混凝土楼盖的类型

现浇钢筋混凝土楼盖可分为二大类：肋梁楼盖和无梁楼盖。

### 14-1-1 肋梁楼盖

肋梁楼盖可分为单向板肋梁楼盖、双向板肋梁楼盖、密肋楼盖和井字楼盖等。

#### 一、单向板、双向板肋梁楼盖

肋梁楼盖由板、次梁和主梁组成（图 14-1）。板的四周支承在次梁、主梁上，一般将四周由主、次梁支承的板称作为一个板区格。

当板区格的长边  $l_2$  与短边  $l_1$  的比值大于 2 时，板上荷载主要沿短边  $l_1$  的方向传递到支承梁上，而沿长边  $l_2$  方向传递的荷载很小，可以忽略不计。板仅沿单方向（短向）受力时，这种肋梁楼盖称为单向板肋梁楼盖。

当板区格的长边  $l_2$  与短边  $l_1$  的比值小于或等于 2 时，板上荷载将通过两个方向传递到板相应的支承梁上。板沿两个方向受力时，这种肋梁楼盖称为双向板肋梁楼盖。

#### 二、密肋楼盖

当肋梁楼盖的梁（肋）间距较小（其肋间距约为 0.5~1.0m），这种楼盖称为密肋楼盖。在相同条件下，密肋楼盖梁高度较小，这可增大楼层净空或降低层高。在密肋之间，可以放置填充物，如塑料盒、加气混凝土块或其他块材。这样，密肋楼盖的下表面就成为平整底面，可省去吊顶。密肋楼盖也可分为单向和双向密肋楼盖两种（图 14-2）。当柱网接近于正方形时，常采用双向密肋楼盖。

#### 三、井字楼盖

当柱间距较大时，如用单向板肋梁楼盖，则主梁的梁高很大，不经济。这时可采用井字楼盖。所谓井字楼盖，即其

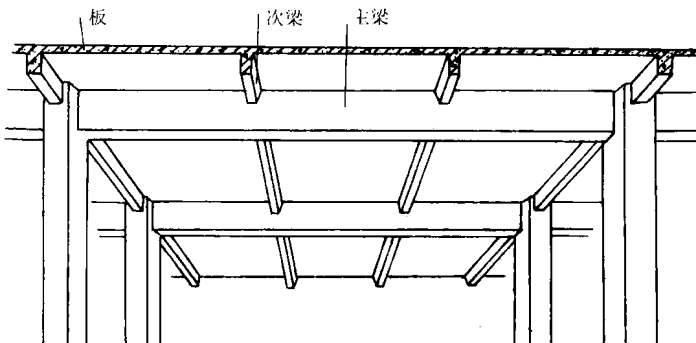


图 14-1 肋梁楼盖

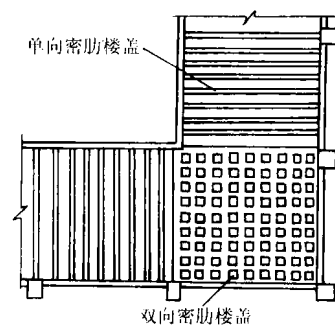


图 14-2 密肋楼盖

梁格布置呈“井”字形，且两个方向的梁截面相同(图 14-3)。而且，梁间距比密肋楼盖的肋间距要大得多。井字楼盖梁间距一般可取 3.0 ~ 5.0m。井字楼盖梁的跨度在 3.5 ~ 6.0m 之间。

井字楼盖的次梁支承于主梁或墙上，次梁可平行于主梁或墙(图 14-4a)，也可按 45°对角线布置(图 14-4b)。

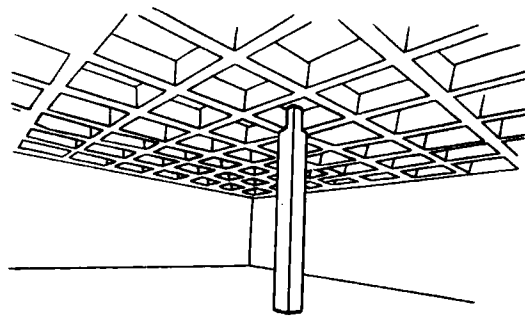


图 14-3 井字楼盖

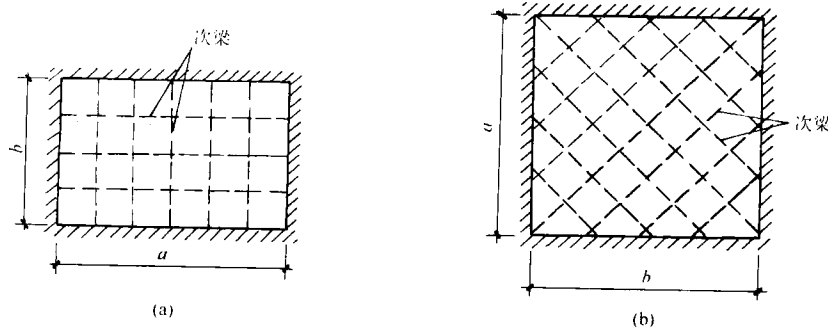


图 14-4 井字楼盖结构布置

### 14-1-2 无梁楼盖

楼盖板不设梁，而将板直接支承在柱上的楼盖，称为无梁楼盖。无梁楼盖又可分为无柱帽平板和有柱帽平板。前者将板直接支承在柱子上(图 14-5a)；后者则将板支承在柱帽上(图 14-5b)。这种结构的传力体系简单，楼层净空高，架设模板方便，且穿管、开孔也较方便。

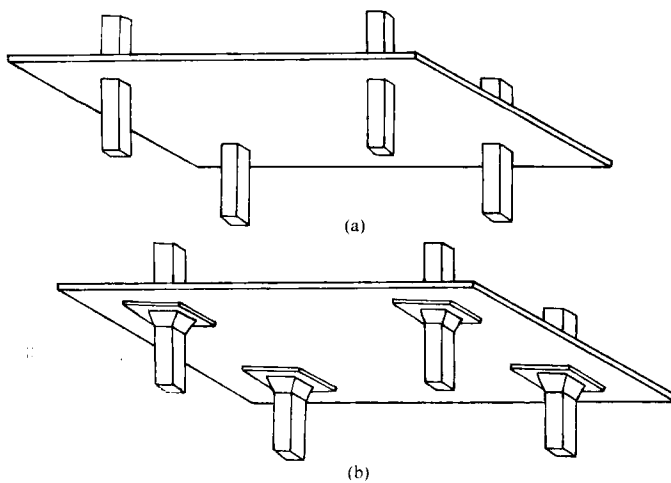


图 14-5 无梁楼盖

## § 14-2 钢筋混凝土单向板肋梁楼盖

### 14-2-1 结构布置

钢筋混凝土单向板肋梁楼盖的结构布置主要是主梁、次梁的布置。一般在建筑设计阶段已确定了建筑物的柱网尺寸或承重墙的布置。而柱网或承重墙的间距决定了主梁的跨度，主梁间距决定了次梁的跨度，次梁间距又决定了板的跨度。因此，如何根据建筑平面以及使用功能、工程造价等因素合理地确定肋梁楼盖的主、次梁布置，就成为一个十分重要的问题。

主梁的布置方案有两种，一种沿房屋横向布置，另一种沿房屋纵向布置。

当主梁沿房屋横向布置，次梁沿纵向布置时（图 14-6a），在建筑物横向，一般可由主梁与柱形成横向框架受力体系。通过纵向次梁将各榀横向框架联成整体。由于主梁与外纵墙面垂直，纵墙上窗洞高度可较大，有利于室内自然采光。

当横向柱距比纵向柱距大得较多或房屋有集中通风的要求时，可采用主梁沿房屋纵向布置，次梁沿房屋横向布置方案（图 14-6b）。当主梁沿房屋纵向布置时，可增加房屋净空，但房屋的横向刚度较差，而且常由于次梁支承在窗过梁上而限制了窗洞的高度。

如果建筑物为办公楼、病房楼、客房楼和集体宿舍楼等，常见的平面布置是中间为走道、两侧为房间的形式，则可利用纵墙承重，此时可仅布置次梁而不设主梁（图 14-6c）。

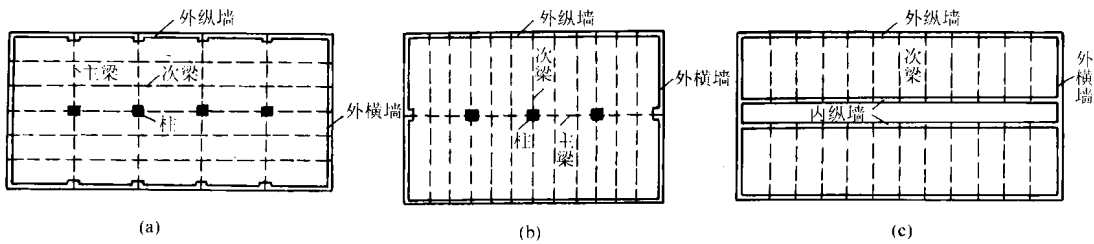


图 14-6 肋梁楼盖结构布置

对于沿街的底层为大空间的商店，上部几层为住宅的民用建筑以及一些公共建筑的门厅，往往在楼盖上有承重墙、隔断墙。此时，在墙下受有较大集中荷载的楼盖处，应设置承重梁。在楼板上开有较大的洞口时，在洞口周边也应设置小梁。

梁格的布置还应尽量做到规则、整齐，荷载传递直接。梁宜在整个建筑平面范围内拉通。

在楼盖结构中，板的混凝土用量约占整个楼盖混凝土用量的 50%~70%，因此板厚宜取较小值，在梁格布置时应考虑这一因素。此外，当主梁跨间布置的次梁多于一根时，主梁弯矩变化平缓，受力较有利。根据设计经验，板的跨度一般为 1.7~2.7m，不宜超过 3.0m；次梁的跨度一般为 4.0~6.0m；主梁的跨度一般为 5.0~8.0m。

### 14-2-2 单向板肋梁楼盖内力的弹性理论计算法

现浇钢筋混凝土单向板肋梁楼盖的板、梁往往是多跨连续的板、梁，其内力分析方法有两种：按弹性理论的计算方法和按塑性理论的计算方法。本节讨论板、梁内力按弹性理论的

## 计算方法

### 一、计算简图和荷载

#### (一) 计算简图

肋梁楼盖中的板和次梁分别由次梁和主梁支承。计算时,一般不考虑板与次梁、次梁与主梁的整接,将连续板与次梁的支座视为铰支座。

当主梁支承在砖墙(或砖墩)上时,简化为铰支座。当主梁支承在钢筋混凝土柱上时,应根据梁和柱的线刚度比值而定。若柱子与梁的线刚度比值大于 $1/4$ 时,应按框架分析梁、柱内力;若柱子与梁的线刚度比值小于或等于 $1/4$ 时,主梁可按铰支于钢筋混凝土柱上的连续梁进行计算。

对连续板、梁的某一跨,与其相邻两跨以远的其余各跨的荷载对其内力的影响很小。因此,对超过五跨的等刚度连续板、梁,若各跨荷载相同,且跨度相差不超过 $10\%$ 时,除两边跨外,所有中间跨的内力是十分接近的。为简化计算,可将所有中间跨均以第三跨来代表,即可按五跨等跨连续板、梁进行计算,其计算简图如图 14-7 所示。当板、梁的跨度少于五跨时,则按实际跨数计算。

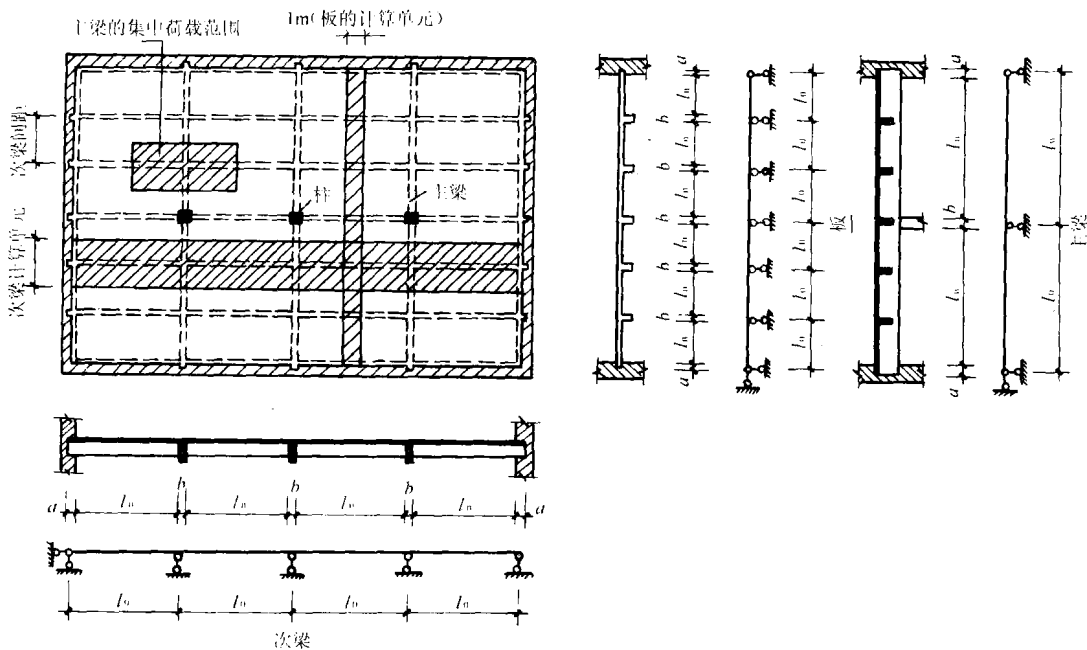


图 14-7 单向板肋梁楼盖的板和梁的计算简图

连续板、梁的计算跨度  $l_0$  按表 14-1 选用。

表 14-1 按弹性理论计算时连续板、梁的计算跨度  $l_0$

支 承 情 况	计 算 跨 度	
	梁	板
两端与梁(柱)整体连接	$l_c$	$l_c$
两端搁置在墙上	$1.05l_n \leq l_c$	$l_n + h \leq l_c$
一端与梁整体连接, 另一端搁置在墙上	$1.025l_n + b/2 \leq l_c$	$l_n + b/2 + h/2 \leq l_c$

注:表中的  $l_c$  为支座中心线间的距离,  $l_n$  为净跨,  $h$  为板的厚度,  $b$  为板、梁在梁或柱上的支承长度。

## (二)荷载

作用在楼盖上的荷载有永久荷载(恒荷载)和可变荷载(活荷载)。恒荷载包括结构自重、构造层重等,对于工业建筑,还有永久性设备自重。活荷载包括使用时的人群、家具、办公设备以及堆料等产生的重力。

恒荷载的标准值可按选用的构件尺寸、材料和结构构件的单位重计算。民用建筑楼面上的均布活荷载可由《建筑结构荷载规范》GBJ9-87(以下简称《荷载规范》)查得。工业建筑楼面在生产使用中由设备、运输工具等所引起的局部荷载及集中荷载,均按实际情况考虑,也可用等效均布活荷载代替。《荷载规范》附录三中列有部分车间的楼面均布活荷载值,可供查取。

对于承受均布荷载的楼面,其板和次梁上均承受均布线荷载,主梁则承受次梁传来的集中荷载。图14-7示出了在均布活荷载下板、次梁、主梁在确定荷载时所考虑的负荷面积。为了简化计算,在确定板、次梁和主梁间的荷载传递时,可忽略板、梁的连续性,按简支板、简支梁确定反力值。必须注意,对于民用建筑的楼盖,楼盖梁的负荷面积愈大,则楼面活荷载全部满布的可能性愈小。因此,在设计民用建筑楼面梁时,楼面活荷载标准值应乘以折减系数 $\alpha$ , $\alpha$ 值在0.6~1.0之间(可查阅《荷载规范》)。

确定荷载效应基本组合设计值时,恒荷载的分项系数取1.2(当其效应对结构不利时)或1.0(当其效应对结构有利时);活荷载的分项系数一般取1.4,当楼面活荷载标准值等于或大于4kN/m<sup>2</sup>时,取1.3。

### 二、荷载的最不利布置与内力包罗图

#### (一)荷载的最不利布置

在连续梁中,恒荷载作用于各跨,而活荷载的位置是变化的。在计算连续板、梁内力时,并非各跨都有活荷载作用时为最不利。为了简便,在设计时,活荷载以一个整跨为变动单元。下面用一根五跨连续梁(或板)来说明活荷载最不利位置的概念(图14-8)。

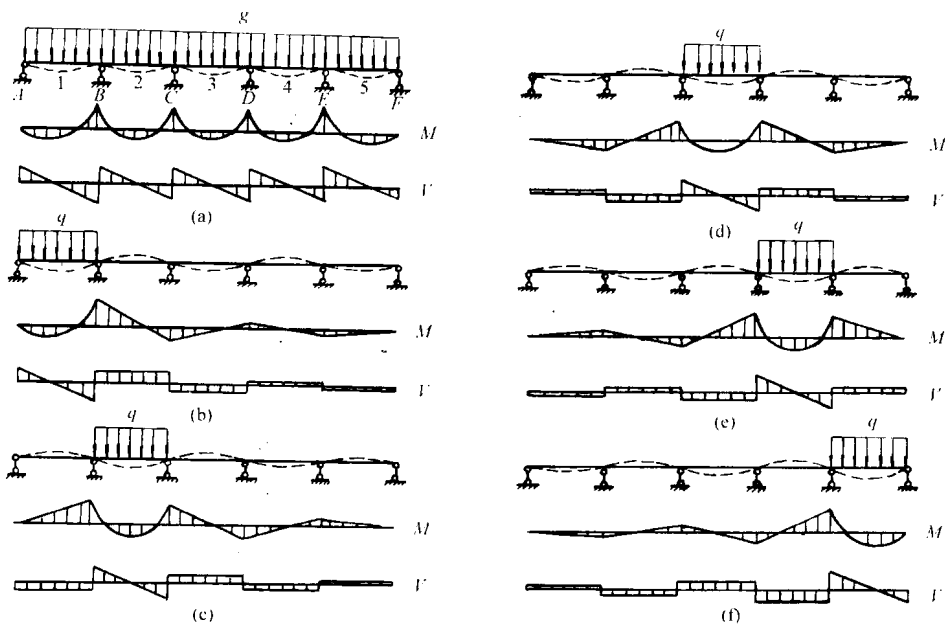


图14-8 五跨连续梁(或板)在六种荷载下的内力图

图 14-8b、c、d、e、f 示出了一根五跨连续梁(或板)在每跨单独作用活荷载时的弯矩图( $M$ 图)和剪力图( $V$ 图),由图中可见,任一计算截面上的最不利内力与活荷载布置有密切关系,主要有如下规律:

1. 求某跨跨中最大弯矩时,应在该跨布置活荷载,然后每隔一跨布置活荷载。
2. 求某跨跨中最小弯矩(最大负弯矩)时,该跨不应布置活荷载,而在该跨左右两跨布置活荷载,然后每隔一跨布置活荷载。
3. 求某支座最大负弯矩和某支座截面最大剪力时,应在该支座左、右两跨布置活荷载,然后每隔一跨布置活荷载。

上述活荷载的布置一般称为活荷载的最不利布置,根据上述活荷载的最不利布置,可进一步求出各截面可能产生的最不利内力,即最大正弯矩( $+M$ )、最大负弯距( $-M$ )和最大剪力( $V$ )。

附表 22 列出了等跨连续梁(或板)在均布荷载和几种常用集中荷载作用下的内力系数,计算时可直接查用。

## (二) 内力包罗图

图 14-9 表示承受均布荷载的五跨连续梁(或板)的恒荷载与活荷载的各种不利布置情况产生的弯矩图、剪力图。将图 14-9 中所示的弯矩图、剪力图分别叠画在同一坐标图上,则其外包线示出了各截面可能出现的弯矩、剪力的上、下限,由这些外包线围成的图形称为弯矩包罗图、剪力包罗图(图 14-10)。

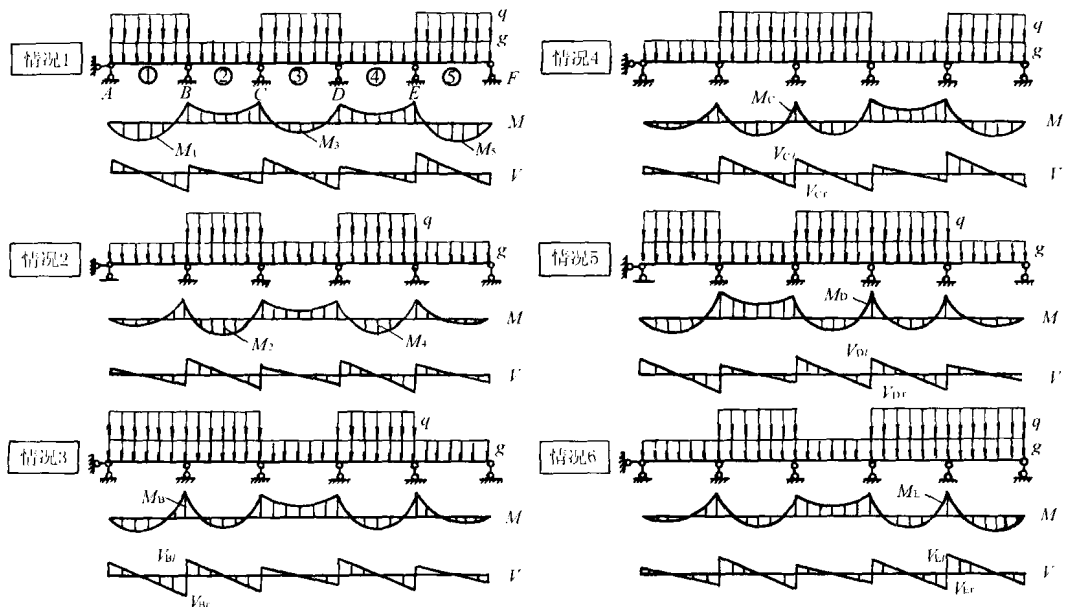


图 14-9 五跨连续梁(或板)的荷载布置与各截面的最不利内力图

绘制弯矩包罗图的步骤是:

1. 列出恒荷载及其与各种可能的最不利活荷载布置的组合。
2. 对上述每一种荷载组合求出各支座的弯矩,并以支座弯矩的连线为基线,绘出各跨在相应荷载作用下的简支弯矩图。

3. 绘出上述弯矩图的外包线，即得所求的弯矩包罗图。

剪力包罗图的绘制方法与弯矩包罗图的绘制方法类似。

为了绘制每一跨的弯矩包罗图，一般需考虑四种荷载组合，即产生左、右端支座截面最大负弯矩的荷载组合和产生跨中最大正、负弯矩的荷载组合。为了绘制每一跨的剪力包罗图，一般只需考虑二种荷载组合，即产生左、右端支座截面最大剪力的荷载组合（图14-10）。

### 三、折算荷载和内力设计值

在现浇肋梁楼盖中，对于支座为整体连接的板、梁，在确定其计算简图时，将支座视为铰支，这使得内力计算较为简便，但与实际情况有一定的差别。这一差别可以通过折算荷载的方法进行适当的修正。

#### （一）折算荷载

将板、梁整体连接的支座简化为铰支承，其实质是没有考虑次梁对板、主梁对次梁在支座处的转动约束。实际上，当板受荷发生弯曲转动时，将使支承它的次梁产生扭转，而次梁对此扭转的抵抗将部分地阻止板自由转动，亦即此时板支座截面的实际转角 $\theta'$ （图14-11b）比理想铰支承时的转角 $\theta$ （图14-11a）小，即 $\theta' < \theta$ ，其效果相当于降低了板的弯矩。次梁与主梁间的情况与此类似。

目前一般采用增大恒荷载和相应地减小活荷载的方法来考虑这一有利影响。即以折算荷载来代替实际荷载（图14-11c）。板和次梁的折算荷载按下列公式取值：

对于板

$$g' = g + \frac{1}{2}q \quad q' = \frac{1}{2}q \quad (14-1)$$

对于次梁

$$g' = g + \frac{1}{4}q \quad q' = \frac{3}{4}q \quad (14-2)$$

式中  $g'$  —— 折算恒荷载设计值；

$q'$  —— 折算活荷载设计值；

$g$  —— 实际恒荷载设计值；

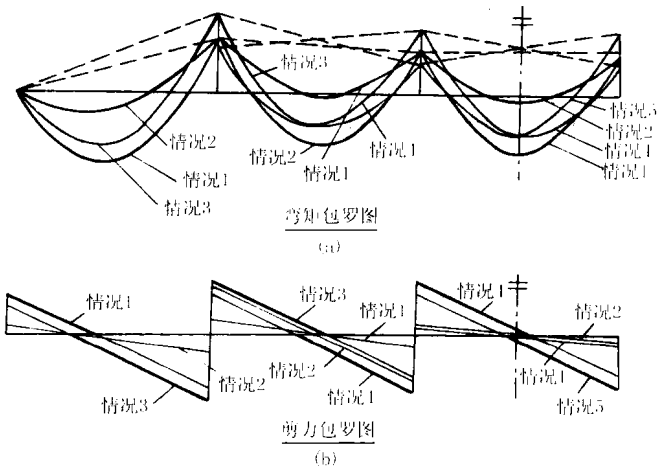


图 14-10 内力包罗图

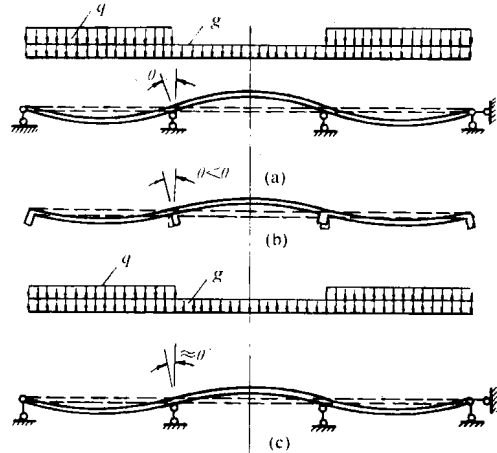


图 14-11 板、梁的折算荷载

$q$ ——实际活荷载设计值。

当板或梁搁置在砖墙或钢梁上时,支座处所受到的约束较小,因而可不进行这种荷载调整。

## (二)弯矩和剪力的设计值

按弹性理论计算连续板、梁的内力时,在截面设计时,支座处的内力应取支承梁(或柱)的侧面所在位置的内力,这是因为在支座中心处(即最大负弯矩处),由于支承梁(或柱)的存在,板、梁的截面高度将较大,该截面不是最危险的截面。工程实践也证明,在该截面不会发生破坏,破坏出现在支承梁(柱)的侧面处,故弯矩设计值和剪力设计值应按支座边缘处确定。支座边缘弯矩设计值  $M_b$  可按下式计算(图 14-12a):

$$M_b = M - \frac{V_b b}{2} \quad (14-3)$$

式中  $M$ ——支座中心处弯矩设计值;

$V_b$ ——支座边缘处剪力设计值;

$b$ ——支座宽度。

支座边缘处剪力设计值  $V_b$  可按下列公式计算:

$$\text{均布荷载时} \quad V_b = V - \frac{(g+q)b}{2} \quad (14-4a)$$

$$\text{集中荷载时} \quad V_b = V \quad (14-4b)$$

式中  $V$ ——支座中心处的剪力设计值(图 14-12b)。

## 14-2-3 单向板肋梁楼盖内力的塑性理论计算法

钢筋混凝土构件的截面承载力计算是按极限平衡理论进行的,在截面承载力的计算中充分考虑了钢材和混凝土的塑性性质,然而在按上述弹性理论分析连续板、梁的内力时,实际上是采用了材料为匀质弹性体的假定,即将构件视为理想弹性体而不考虑材料的塑性。显然,用弹性理论分析结构内力,并按塑性方法设计截面,这两者是不协调的。同时,在超静定结构中,结构的内力与结构各部分的刚度大小有直接关系,当结构中某截面发生塑性变形后,刚度降低,结构上的内力也将发生变化,也就是说,在加载的全过程中,由于材料的非弹性性质,各截面间的内力分布规律是不断发生变化的(这种现象一般称为内力重分布),按弹性理论求得的内力实际上已不能准确反映结构的实际内力。同时,连续板、梁是超静定结构,即使其中某处正截面的受拉钢筋达到屈服,整个结构还不是几何可变的,仍有一定的承载力。因此,在楼盖设计中,考虑材料的塑性性能来分析结

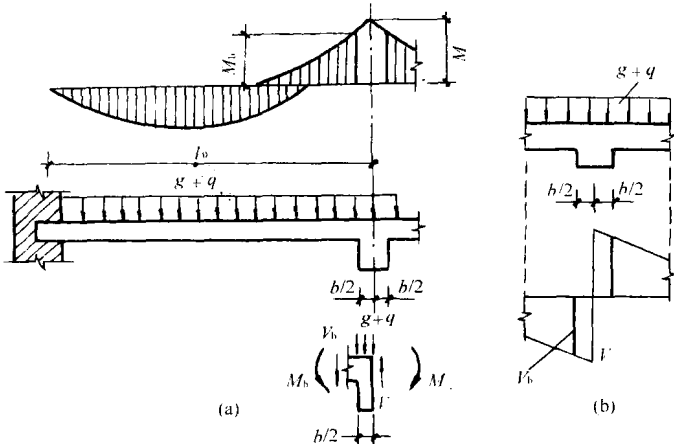


图 14-12 内力设计值的修正

构的内力，确定结构的承载力，将能更准确地反映结构的实际受力状态，充分发挥结构的承载力，具有一定的经济意义。

### 一、钢筋混凝土受弯构件的塑性铰

图 14-13a 所示为一受弯构件跨中截面曲率  $\varphi$  与弯矩  $M$  的关系曲线。从图 14-13a 中可见，钢筋屈服以前， $M - \varphi$  关系线已略呈曲线，这表明，梁在第Ⅱ工作阶段（带裂缝工作阶段）时，由于受拉区出现裂缝和受压区混凝土产生了一定的塑性变形，截面刚度已逐渐降低。当纵向受拉钢筋屈服时，在弯矩增加不多的情况下，曲率  $\varphi$  急剧增大， $M - \varphi$  关系线接近于水平线，这表明该截面已进入“屈服”阶段。纵向受拉钢筋屈服时的弯矩称为屈服弯矩，用  $M_y$  表示，相应的曲率称为屈服曲率，用  $\varphi_y$  表示；在纵向受拉钢筋屈服后，在“屈服”截面将形成一个集中的转动区域，相当于一个铰，这种“铰”称为“塑性铰”（图 14-13b）。塑性铰的形成主要是由于纵向受拉钢筋屈服后产生塑性变形，而塑性铰的转动能力则取决于混凝土与纵向受拉钢筋的变形能力。随着曲率增加，混凝土受压边缘的应变将增加，当混凝土受压边缘的应变达到其极限压应变  $\epsilon_{cu}$  时，混凝土压坏，截面达到其极限弯矩  $M_u$ ，这时，相应的曲率称为极限曲率，用  $\varphi_u$  表示。

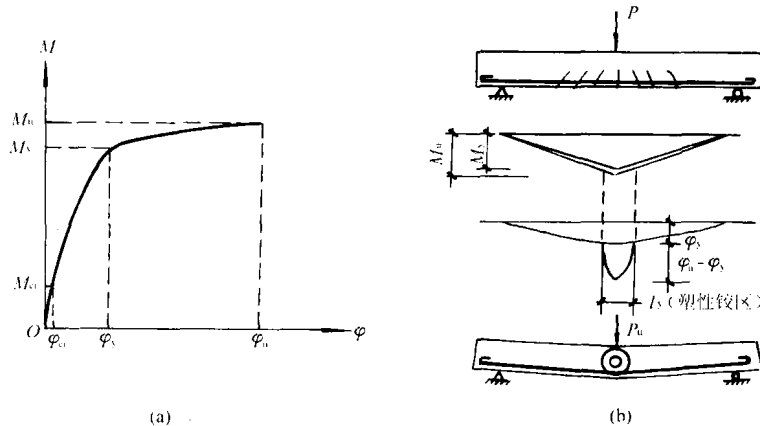


图 14-13 钢筋混凝土受弯构件的塑性铰

图 14-14 所示为不同配筋率的梁的弯矩  $M$  与曲率  $\varphi$  的关系。由图中可见，纵向受拉钢筋配筋率  $\rho$  愈大，则从截面屈服至截面破坏的曲率增量  $(\varphi_u - \varphi_y)$  愈小，即随着纵向受拉钢筋配筋率的增加，塑性铰的转动能力减小，延性降低。当配筋率  $\rho$  达最大配筋率  $\rho_{max}$  时，钢筋屈服的同时受压区混凝土压坏，即  $\varphi_y = \varphi_u$ ，这时塑性转动能力很小。

必须注意，钢筋混凝土受弯构件的塑性铰与理想铰有本质上的不同，两者主要区别如下：理想铰不能传递

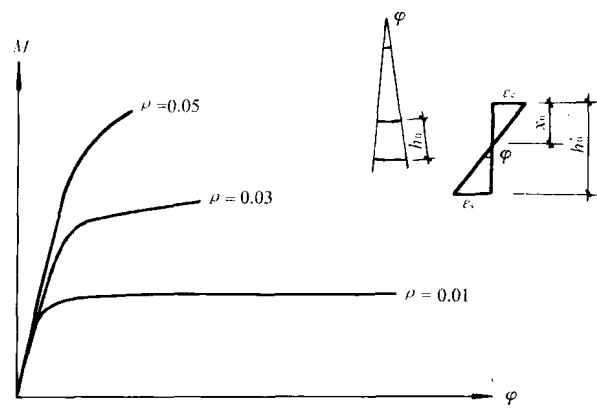


图 14-14 不同配筋率梁的  $M - \varphi$  曲线